# 高圧水蒸気処理を施した SiO2/GaN 縦型 MOS キャパシタの電気的特性評価

Electrical Characterization of SiO<sub>2</sub> / GaN Vertical MOS Capacitor treated by

**High Pressure Water Vapor Annealing** 

 $^\circ$ 冨永雄太 $^1$ ,上野勝典 $^2$ ,吉嗣晃治 $^1$ ,多田雄貴 $^1$ ,石河泰明 $^1$ ,浦岡行治 $^1$ 

(1. 奈良先端大, 2. 富士電機)

°Yuta Tominaga<sup>1</sup>, Katsunori Ueno<sup>2</sup>, Koji Yoshitsugu<sup>1</sup>, Yuki Tada<sup>1</sup>, Yasuaki Ishikawa<sup>1</sup>, Yukiharu Uraoka<sup>1</sup> (1. NAIST, 2. Fuji Electric)

E-mail: tominaga.yuta.tt3@ms.naist.jp

## 1. 背景

パワー半導体用途の GaN 系 MOS デバイスにおけるゲート絶縁膜として、高い伝導帯不連続量及び高絶縁破壊電界を有する SiO<sub>2</sub> が期待されている. 堆積 SiO<sub>2</sub> は 900~1000°C の高温堆積後熱処理(Post deposition annealing: PDA)を行うことで Si の熱酸化膜に近い物性が得られる[1]. しかし、GaN 系 MOS デバイスプロセスにおいて高温 PDA を行うと、GaN 表面の窒素抜けや低質な界面酸化層の生成が懸念される. そこで本研究では、400°C 程度の低温 PDA として、ゲート絶縁膜の膜質改善が期待できる高圧水蒸気処理(High Pressure Water Vapor Annealing: HPWVA)[2]に着目した. HPWVA が SiO<sub>2</sub>/n-GaN 縦型 MOS に対して有用かどうか検討するために MOS キャパシタを作製し電気的特性評価を行った.

# 2. 実験方法

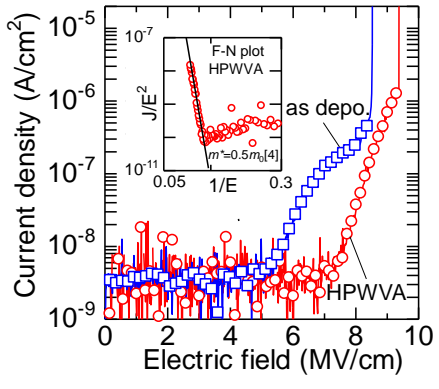
MOS キャパシタの作製には厚さ 4  $\mu m$  の n-GaN エピタキシャル層を有する GaN 自立基板を用いた. 初めに n-GaN 上に TEOS および  $O_2$ を用いたプラズマ CVD 法により  $SiO_2$ を 300°Cで 100 nm 堆積した. 絶縁膜堆積後に PDA として 400°C、0.5 MPa、30 min の HPWVA を行った後に、 $SiO_2$ 表面および GaN 基板裏面に Al 電極を 100 nm 蒸着した.また比較のため熱処理無し(as-depo.)試料も同様に作製した.本研究では、絶縁特性を評価するために電子を絶縁膜層に注入しリーク電流を測定した.

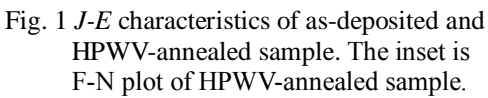
## 3. 結果

Fig. 1 に Al/SiO<sub>2</sub>/n-GaN MOS キャパシタの電流密度対電界強度(*J-E*)特性を示す。as-depo.試料の絶縁破壊電界は8.5 MV/cm を示したのに対して、HPWVA 試料ではSiO<sub>2</sub>の理想値に近い9.4 MV/cm が得られた。F-N プロットより HPWVA 試料における絶縁破壊前のリーク電流は, $q\Phi_B=2.5$  eV の障壁高さを有するFN トンネル伝導であることが示唆された。この SiO<sub>2</sub>/n-GaN の障壁高さは Robertson ら[3]が報告している値とほぼ等しくなった。次に SiO<sub>2</sub> 膜中の不純物分布を解析するために SIMS 深さ方向プロファイルを行った。Fig. 2 に  $^1$ H および  $^{19}$ OH の SIMS 深さ方向プロファイルを示す。as-depo.試料と HPWVA 試料を比較すると H および OH の減少が見られた。このことから HPWVA を行うことによって SiO<sub>2</sub> 膜中の H および OH が減少し,理想的な SiO<sub>2</sub> に近づいたと考えられる。これらの結果より,HPWVA は低温 PDA として n-GaN 上 PECVD-SiO<sub>2</sub> の膜質改善に有用である。

#### 参考文献

- [1] E. San Andres et al., J. Appl. Phys. 87, 1187 (2000).
- [2] K. Yoshitsugu et al., IWN2012 TuP-LN-12 (2012).
- [3] J. Robertson, et al., J. Appl. Phys. 100, 014111 (2006).
- [4] E. Kim et al., Jpn. J. Appl. Phys. 49 (2010).





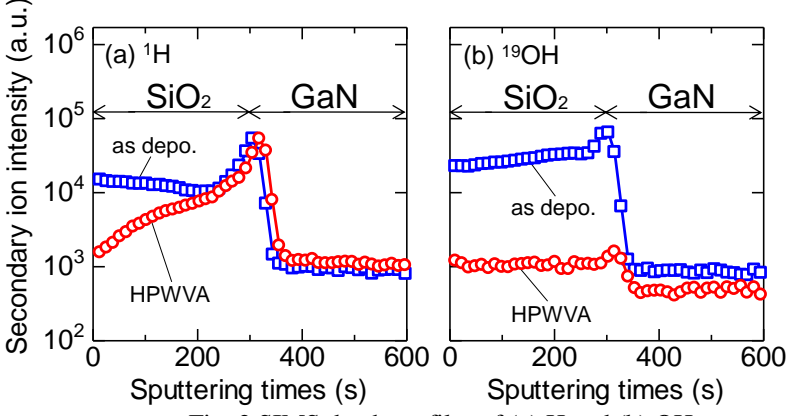


Fig. 2 SIMS depth profiles of (a) H and (b) OH.